

بهینه‌سازی محافظت از شبکه در برابر خط‌مشی‌های ممانعتی متنوع از طریق الگوریتم‌های تکاملی

وحید خرازی*

دانشگاه علم و صنعت ایران

(دریافت: ۹۵/۰۷/۰۵، پذیرش: ۹۶/۰۳/۰۶)

چکیده

هدف ما در این مقاله ارائه یک قالب بهینه‌سازی شبکه است که پایداری شبکه را برای یک جریان مورد نیاز عرضه و تقاضا بیشینه می‌کند. در قالب ارائه‌شده یال حالت تصادفی دارد که با در نظر گرفتن آسیب‌پذیری یال با استفاده از تابع میزان موفقیت مهاجم - مدافع مشخص می‌شود. در این قالب، هدف ممانعت‌کننده کاهش بیشینه جریان مورد انتظار شبکه از طریق تخریب یال‌های شبکه است. به علاوه، فرض می‌شود ممانعت‌کننده دارای منابع محدودی برای ممانعت از عناصر شبکه باشد. در این مطالعه به دنبال پیدا کردن احتمال تخریب یک عنصر شبکه بوده و سپس می‌خواهیم منابع دفاعی در بین اقدامات دفاعی مختلف مثلاً جدایی، حفاظت و افزودگی به طور مطلوب توزیع کنیم به نحوی که پایداری سامانه حداکثر شود. رویکردهای متفاوتی که برای حل این قالب ممانعت مطرح شده‌اند غالباً برای شبکه‌های با ابعاد کوچک محدود می‌شوند. ما در این مقاله یک الگوریتم تکاملی برای حل این مسائل ارائه می‌دهیم. نتایج عددی به دست آمده نشان می‌دهد که این الگوریتم تکاملی فضای جواب را به طور قابل توجهی محدود می‌کند و بنابراین می‌توان آن را در شبکه‌های با ابعاد بزرگ به کار برد.

واژه‌های کلیدی: ممانعت در شبکه، محافظت از سیستم، پایداری شبکه، بهینه‌سازی تکاملی

۱- مقدمه

یک شبکه با پیکربندی معلوم و ثابت، تعدادی مصرف‌کننده محصول یا تحویل‌گیرنده خدمات را در نظر بگیرید به‌عنوان مثال در موارد قانونی، برق و ارتباطات و در موارد غیرقانونی مواد مخدر یا قاچاق اسلحه چنین شبکه‌ای را تشکیل می‌دهند. در این تحقیق تأثیر رویدادهای خارجی (به‌عنوان مثال، ۱۱ سپتامبر ۲۰۰۱ در مورد حمل و نقل و ۲۰۰۳ در مورد خاموشی در شبکه برق شمال غرب ایالات متحده) بر از کار افتادن اجزا در سطح شبکه بررسی می‌شود. زیر ساخت‌های حیاتی می‌توانند به‌عنوان شبکه‌های ارتباطی یا خدماتی تعریف شوند که برای اقتصاد و رفاه اجتماعی یک ملت حیاتی هستند. به‌عنوان مثال، زیرساخت انرژی یکی از زیرساخت‌های حیاتی است، بدون یک منبع انرژی پایدار، بهداشت و رفاه مورد تهدید است و اقتصاد کشور نمی‌تواند موثر باشد. بدیهی است برای بخش انرژی، عملکرد مناسب شبکه برق باید به‌طور مداوم بالا نگه داشته شود که این امر در مورد نگهداری و ایمنی شبکه حمل و نقل نیز درست است. در خارج از آمریکا، اتحادیه اروپا همراه با دیگر مدیران ملی و فراملی، در حال حاضر به اهمیت مهندسی قابلیت اطمینان و امنیت سیستم^۱ که مرتبط با زیرساخت‌های حیاتی است پی برده و از طریق

پیاده‌سازی سیاست‌ها و برنامه‌های خاص، (به خصوص برنامه اروپا برای حفاظت از زیرساخت‌های حیاتی) سعی در اجرای آن دارد. به‌طور خلاصه، از دیدگاه امنیتی، اختلال یا تخریب زیرساخت‌ها می‌تواند ضربه شدید و ناتوان‌کننده‌ای بر دفاع، امنیت اقتصادی و رفاه روانی کشور تحمیل کند. با توجه به این زیرساخت‌ها، می‌توان شبکه را قالب‌بندی کرد. به‌عنوان مثال، زیرساخت‌های انرژی می‌تواند به‌عنوان جریان شبکه یا مخابرات به‌عنوان شبکه ارتباطی قالب‌بندی شود. تحقیق در زمینه قابلیت اطمینان و تجزیه و تحلیل خطر از طریق پیاده‌سازی خط‌مشی‌های محافظتی برای کاهش عدم جریان شبکه می‌تواند از اتفاقات ناخواسته در سطح شبکه که توسط شکست منابع داخلی ایجاد می‌شود جلوگیری کند.

مسائل ممانعت در شبکه تنوع بسیاری دارند و تعداد زیادی از این قالب‌ها تاکنون مطرح شده‌اند. تمامی قالب‌ها براساس سه رویکرد اصلی: بهینه‌سازی ترکیباتی، برنامه‌ریزی تصادفی و نظریه بازی می‌باشند. در این قالب ممانعت که ما در این مقاله بررسی می‌کنیم ممانعت از هر یال به احتمال $p \leq 1$ موفق خواهد بود و هدف مهاجم کمینه کردن بیشینه جریان مورد انتظار است. برای این نوع مسائل، مک مسترز و ماستین^۲ در [۱] یک روش حل مربوط به شبکه‌های مسطح (شبکه‌هایی که یال‌ها هم‌دیگر را قطع

* رایانامه نویسنده مسئول: kharazi@comp.iust.ac.ir

1- Reliability Engineering and System Safety

2- Mc Master and Mustin

- سیل، طوفان و غیره است که کل منطقه را تخریب می کنند. مفروضات این قالب به صورت زیر است:
- ظرفیت تمام یال ها مشخص است.
 - تقاضای شبکه و پیکربندی - شبکه ثابت و مشخص است.
 - بودجه مدافع و مهاجم معلوم است.
 - بودجه حمله به طور مساوی در میان همه یال ها توزیع شده است.
 - مهاجم یال های بدون محافظت را با احتمالی برابر با یک تخریب می کند.

جدول (1): فهرست علائم و اختصارات استفاده شده در مقاله

شبکه ظرفیت دار	$G(N, A)$
بردار خطمشی دفاعی x $(x_{s1}, \dots, x_{st}, x_{12}, \dots, x_{1n}, \dots, x_{ij}, \dots, x_{nt})$	x
متغیر تصمیم گیری باینری، اگر یال شبکه بین گره های i و j دفاع شود ($x_{ij} = 1$) و در غیر این صورت ($x_{ij} = 0$)	x_{ij}
h امین خطمشی دفاعی در چرخه u ام $x_u^h = (x_{s1u}^h, \dots, x_{snu}^h, \dots, x_{12u}^h, \dots, x_{1nu}^h, \dots, x_{iju}^h, \dots, x_{ntu}^h)$	x_u^h
بردار احتمال $Y_u = (Y_{s1u}, \dots, Y_{snu}, Y_{12u}, \dots, Y_{1nu}, \dots, Y_{iju}, \dots, Y_{ntu})$	Y_u
احتمال این که از یال بین گره های i و j دفاع شود $P(x_{ij} = 1)$	Y_{ij}
مولفه جریان بین گره های i و j	k_{ij1}
احتمال تخریب یال بین گره ها i و j	v_{ij}
منابع دفاعی اختصاص یافته برای هر یال بین گره های i و j	t_{ij}^m
منابع تهاجمی اختصاص یافته برای هر یال بین گره های i و j	T_{ij}^m
پارامتر میزان درگیری	m
بردار وضعیت $a = (a_{s1}, \dots, a_{st}, a_{12}, \dots, a_{ij}, \dots, a_{nt})$	a
بودجه تدافعی	b
بودجه تهاجمی	B
جریان شبکه تحت بردار وضعیت a	$\varphi(a)$
پایداری شبکه تحت بردار خطمشی x' برای جریان داده شده d	$R(a x', d, v_{ij})$
جریان مورد نیاز شبکه	d
اندیس دور	u
اندازه مجموعه جواب	S
بردار خطمشی دفاعی بهینه	x^*
عملگر یای منطقی	\vee

نمی کنند) را براساس برنامه ریزی خطی ارائه کرده اند. این روش به شمارش مجموعه های از اجزا نیاز دارد که شکست شبکه را تضمین می کنند و فقط در شبکه های با اندازه کوچک کاربرد دارد. برای این نوع شبکه ها، هلم بولد¹ [2] یک روش برنامه ریزی پویا را پیاده سازی کرده که در آن مسطح بودن شبکه فرض شده است. بنابراین، قابلیت کاربرد آن به شبکه های با ابعاد کوچک محدود می شود. بویل² [3] یک روش دوگان بسط یافته برای قالب در نظر گرفته است. این شیوه تمام مسیرهای $s - t$ را که از بین می روند را می شمارد. هم چنین، وود³ [4] نشان داد که $DNIP^F$ یک NP-کامل است و یک قالب تازه از LP را ارائه کرد که توسط برنامه ریزی عدد صحیح حل می شود. با این حال این رویکرد در شبکه های با اندازه تقریباً کوچک اجرا شده بود. دای و پو⁵ [5] برای مواجه شدن با این محدودیت ها نخستین روش بهینه سازی تکاملی را برای حل مسائل DNIP ارائه کرده اند. این الگوریتم ژنتیک⁶ GA می تواند جواب هایی برای شبکه های بزرگ تولید کند. با این حال، بایستی از مفاهیم مربوط به عملگر پیوند، جهش، جریمه و هم چنین پیش زمینه مناسبی در GA استفاده کرد. اخیراً راکو و رامیرز مارکز⁷ در [6]، PSDA^A را ارائه کرده اند که یک الگوریتم تکاملی برای حل مسائل DNIP است. این الگوریتم فضای جواب را در یک جستجوی احتمالی مورد کاوش قرار می دهد.

1-1- تعریف مساله

اگرچه یکی از بی نهایت خطمشی های حمله ای توسط ممانعت کننده را می توان در نظر گرفت. در این تحقیق فرض بر این است که مهاجم منابع اش را به طور مساوی در میان تمام اجزای شبکه توزیع می کند. این فرض در مورد توزیع مساوی منابع در موارد زیر قابل توجیه است:

(a) مهاجم هیچ اطلاعی درباره ساختار شبکه و اهمیت یال های خاص ندارد و برای از بین بردن تمامی عناصر شبکه تلاش می کند.

(b) مهاجم هیچ توانایی برای هدایت حمله به یال های خاص را ندارد. به عنوان مثال، در استفاده از آلات موشکی با دقت پایین، مهاجم تلاش می کند به کل منطقه آسیب برساند و تنها بر حسب تصادف می تواند یالی را تخریب کند که تجهیزات زیادی در آن قرار گرفته است.

(c) سیستم نیازمند حفاظت در برابر بلایای طبیعی از قبیل

- 1- Helmbold
- 2- Boyle
- 3- Wood
- 4- Deterministic Network Interdiction Problem
- 5- Dai and Poh
- 6- Genetic Algorithm
- 7- Rocco and Ramirez-Marquez
- 8- Probabilistic Solution Discovery Algorithm

۲-۱- پیش‌زمینه حفاظت از شبکه‌ها

$G(N, A)$ را یک شبکه ظرفیتی با گره منبع s و گره تقاضا t در نظر بگیرید که N مجموعه‌ای از گره‌ها است و $A = A_1 \cup A_2$ که $A_1 = \{(s, i), (j, t) | 1 < i, j < n\}$ و $A_2 = \{(i, j) | 1 < i, j < n\}$ مجموعه‌ای از یال‌ها هستند. شبکه به ترتیب دارای بودجه تدافعی و تهاجمی b و B است. به علاوه، k_{ijv} یک عضو از k_{ij} است که بردار ظرفیت یال (i, j) را نمایش می‌دهد. برای این بردار داریم $0 = k_{ij0} < k_{ij1}$ و $v = 0, 1$. بردار وضعیت شبکه $a = (a_{s1}, \dots, a_{st}, a_{12}, \dots, a_{ij}, \dots, a_{nt})$ ظرفیت جریان برای هر یال از شبکه است.

۳-۱- آسیب‌پذیری یال

آسیب‌پذیری یک یال شبکه v_{ij} (یعنی همان احتمال تخریب) به صورت نسبت تابع موفقیت [۷-۸] در رقابت مهاجم-مدافع به شکل:

$$v_{ij} = \frac{T_{ij}^m}{T_{ij}^m + t_{ij}^m}$$

تعریف می‌شود که در آن T_{ij}^m و t_{ij}^m به ترتیب بودجه تدافعی و تهاجمی اختصاص‌یافته به یال v_{ij} است و پارامتر m میزان درگیری به شرح زیر است:

(۱) اگر $m = 0$ ، تلاش مهاجم و مدافع تأثیر یکسانی بر آسیب‌پذیری دارد.

جدول (۲): احتمال دقیق جریان s - t برای خط‌مشی‌های تدافعی مختلف

Defense strategy no.	Defense strategy (x_{22}, x_{21}, x_{12})	$P(\varphi(a) = f x, v_{ij})$				Expected flow
		$f = 0$	$f = 10$	$f = 100$	$f = 110$	
1	(0,0,0)	1	0	0	0	0
2	(1,0,0)	1	0	0	0	0
3	(0,1,0)	0.20	0.80	0	0	8
4	(0,0,1)	1	0	0	0	0
5	(1,1,0)	0.33	0.67	0	0	6.7
6	(1,0,1)	0.55	0	0.45	0	45
7	(0,1,1)	0.33	0.67	0	0	6.7
8	(1,1,1)	0.28	0.39	0.14	0.19	38.8

مشاهده می‌شود یک مثال در نظر گرفته‌ایم که در اصل توسط کرمیکن^۱ و همکارانش در [۹] ارائه شده است. این شبکه ساده شامل یک گره منبع s و یک گره تقاضا t و گره میانی ۲ است. مقدار بالای هر یال نشان‌دهنده ظرفیت آن یال است. فرض کنید برای این شبکه میزان درگیری $m = 1$ و بودجه تدافعی و تهاجمی به ترتیب $b = 40$ و $B = 30$ است.

برای این مثال، احتمال این که شبکه جریانی برابر با f داشته باشد را برای هر یک از خط‌مشی‌ها تدافعی ممکن نمایش می‌دهد.

۴-۱- پایداری شبکه

تابع $\varphi(a): Z^{|A|} \rightarrow Z^+$ یک بردار حالت شبکه را به یک جریان شبکه بین $s - t$ می‌نگارد. بنابراین، پایداری شبکه تحت خط‌مشی تدافعی بردار α' جریان داده‌شده d و آسیب‌پذیری‌های v_{ij} به صورت زیر تعریف می‌شود:

$$R(a | x', d, v_{ij}) = P(\varphi(a) \geq d | x', v_{ij})$$

۵-۱- مثال تشریحی

برای روشن‌نمودن مفاهیم ذکرشده، همان‌طور که در شکل (۱)

جواب بهینه می‌تواند s امین خطمشی باشد اگر هدف ماکزیمم کردن جریان مورد انتظار شبکه از گره منبع به گره مقصد باشد. با این حال، اگر مدافع بخواهد خطمشی را انتخاب کند که جریان شبکه بیش‌تر یا مساوی ۱۰ واحد (به عنوان یک سطح اطمینان) باشد آن‌گاه سومین خطمشی، جواب بهینه است.

۱-۶- قالب حفاظت بهینه از شبکه

تابع هدف در این قالب عبارت است از یک خطمشی دفاعی که پایداری شبکه را برای یک جریان به خصوص $s - t$ مورد نیاز شبکه در $G(N, A)$ به شکل:

$$\text{Max } R(\mathbf{a}|\mathbf{x}', d, v_{ij})$$

$s, t.$

$$(1) C(\mathbf{x}) = b$$

$$(2) \sum_{i|x_{ij}} a_{ij} - \sum_{h|x_{jh}} a_{jh} = 0 \quad \forall j \in N$$

$$(3) x_{ij} \in \text{Bin}(0,1)$$

را بیشینه می‌کند به طوری که:

- (۱) مجموعه هزینه دفاعی برای خطمشی دفاعی \mathbf{x} برابر با بودجه دفاعی می‌باشد.
- (۲) جریان ورودی و خروجی هر گره تحت خطمشی دفاعی \mathbf{x} باید برابر با صفر باشد.
- (۳) طبیعت دودویی متغیر تصمیم‌گیری \mathbf{x} را نشان می‌دهد.

۲- روش تحلیل و ارائه نتایج

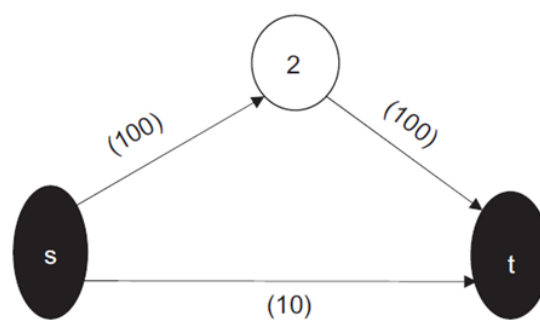
رویکرد تحقیق در این مسئله بر اساس سه گام زیر است:

- (۱) شبیه‌سازی مونت‌کارلو^۱ برای به وجود آوردن خطمشی ممانعتی بالقوه؛
- (۲) الگوریتم فورد فولکرسون^۲ [۱۴] برای ماکزیمم جریان $s - t$ شبکه؛
- (۳) الگوریتم تکاملی که ناحیه‌ای از فضای جواب را در هر چرخه براساس جستجوی احتمالی مورد کاوش قرار می‌دهد که از متناسب کردن جواب‌های تولیدشده به دست می‌آید؛

۱-۲- الگوریتم تکاملی PSDA

رویکرد بهینه‌سازی ارائه‌شده در این مقاله یک الگوریتم تکاملی (EA^۳) است که شباهت‌هایی با الگوریتم ژنتیک (GA) و بهینه‌سازی الگوریتم مورچگان (ACO^۴) دارد. در رابطه با الگوریتم ژنتیک،

توجه داشته باشید که جریان شبکه تابعی از آسیب‌پذیری هر یک از یال‌ها و نیز خطمشی دفاعی است. به‌عنوان مثال، برای خطمشی دفاعی نخست $T_{ij}^m = 10$ و $t_{ij}^m = 0$ به‌طوری‌که $v_{ij} = 1$ برای هر یال (i, j) است. به‌طور مشابه در ششمین خطمشی دفاعی فقط دو یال حفاظت شده‌اند. در این دفاع، برای $T_{ij}^m = 10$ و $t_{ij}^m = 40/2 = 20$ به‌طوری‌که $v_{ij} = 1/3$ برای یال‌های دفاع شده (s, t) و $(2, t)$ و $v_{ij} = 1$ برای یال دفاع نشده (s, t) است. در این مثال احتمال این‌که شبکه نتواند هیچ جریانی را انتقال دهد با در نظر گرفتن احتمال تخریب یال‌های x_{s2} و x_{2t} برابر با $1/3 + 1/3 - 1/9 = 0.55$ است. هم‌چنین احتمال این‌که جریان انتقالی برابر با ۱۰۰ واحد باشد را می‌توان به‌عنوان احتمال این‌که هر دو یال بعد از حمله باقی بمانند به دست آورد.



شکل (۱): مثال تشریحی

به‌علاوه، نتایج به ما اجازه مقایسه خطمشی‌های دفاعی مختلف و معیارهای بهینه‌سازی متفاوت را می‌دهد. به‌عنوان مثال، جواب بهینه می‌تواند s امین خطمشی باشد اگر هدف ماکزیمم کردن جریان مورد انتظار شبکه از گره منبع به گره مقصد باشد. با این حال، اگر مدافع بخواهد خطمشی را انتخاب کند که جریان شبکه بیش‌تر یا مساوی ۱۰ واحد (به عنوان یک سطح اطمینان) باشد آن‌گاه سومین خطمشی جواب بهینه است.

برای این قالب شبکه، محاسبه پایداری شبکه برای خطمشی دفاعی بردار \mathbf{x} و جریان مورد نیاز شبکه d در $G(N, A)$ از طریق روش تحلیلی مشخص کرده مجموعه‌های مسیر/برش کمینه ظرفیت‌دار [۱۰-۱۱] و یا یکی از روش‌های شبیه‌سازی [۱۲-۱۳] انجام می‌گیرد. چون محاسبه دقیق همه مجموعه‌های مسیر/برش کمینه NP-سخت است و پیچیدگی محاسباتی با افزایش تعداد یال‌ها و گره‌های شبکه به‌طور نمایی افزایش می‌یابد. در این مقاله از شبیه‌سازی مونت‌کارلو برای تخمین $R(\mathbf{a}|\mathbf{x}', d, v_{ij}) = P(\varphi(\mathbf{a}) \geq d|\mathbf{x}', v_{ij})$ استفاده شده است.

به‌علاوه، نتایج به ما اجازه مقایسه خطمشی‌های دفاعی مختلف و معیارهای بهینه‌سازی متفاوت را می‌دهد. به‌عنوان مثال،

1- Monte-Carlo Simulation

2- Ford-Fulkerson

3- Evolutionary Algorithm

4- Ant Colony Optimization Algorithms

۲-۳- تجزیه و تحلیل خطمشی

در گام دوم، الگوریتم تعداد یال‌ها دفاع شده برای هر \mathbf{x}_u^h را بررسی می‌کند و سپس پایداری شبکه $R(\mathbf{a}|\mathbf{x}_u^h, d, v_{ij})$ را برای هر خطمشی دفاعی \mathbf{x}_u^h بر اساس بردارهای k_{ij} و v_{ij} تخمین می‌زند. تعداد زیادی از روش‌ها برای به دست آوردن $R(\mathbf{a}|\mathbf{x}_u^h, d, v_{ij})$ وجود دارد. در این مقاله از روش شبیه‌سازی مونت کارلو همراه با الگوریتم فوردهولکرسون براساس مقاله [۱۴] برای تخمین پایداری یک خطمشی دفاعی استفاده شده است.

برای یک خطمشی دفاعی به خصوص \mathbf{x}_u^h ، بردار تصادفی \mathbf{x}_u^h را با در نظر گرفتن این که کدام یال‌ها برای دفاع انتخاب شده‌اند و آسیب‌پذیری آن‌ها تولید می‌کنیم. سپس این بردار توسط الگوریتم فوردهولکرسون برای مشخص کردن ماکزیمم جریان مورد ارزیابی قرار می‌گیرد. وقتی که ماکزیمم جریان بیش‌تر یا برابر با مقدار جریان مورد نیاز برای پایداری شبکه d باشد، \mathbf{x}_u^h به عنوان یک وضعیت موفق محسوب می‌شود و شمارنده تعداد وضعیت‌های موفق سیستم یک واحد افزایش می‌یابد، در غیر این صورت، شمارنده بدون تغییر باقی می‌ماند. این روند *NSIMUL* بار تکرار می‌شود. برای تخمین پایداری شبکه تعداد وضعیت‌های موفق سیستم را بر *NSIMUL* تقسیم می‌کنیم. بعد از به دست آوردن پایداری شبکه برای هر خطمشی دفاعی، جواب‌های به دست آمده را از بزرگ به کوچک مرتب می‌کنیم. شبه کد الگوریتم برای این گام به صورت زیر است:

Step 2—Strategy Analysis and Penalization:

For $h = 1, \dots, \text{SAMPLE}$

Obtain $t_{ij}^m = b / \sum_{ij} x_{ij}^h$ and estimate $R(\mathbf{a}|\mathbf{x}_u^h, d, v_{ij})$

List $R(\mathbf{a}|\mathbf{x}_u^h, d, v_{ij})$ by decreasing order of magnitude:

$R(\mathbf{a}|\mathbf{x}_u^{(1)}, d, v_{ij}) \geq R(\mathbf{a}|\mathbf{x}_u^{(2)}, d, v_{ij}) \geq \dots \geq R(\mathbf{a}|\mathbf{x}_u^{(\text{SAMPLE})}, d, v_{ij})$.

۲-۴- کاوش جواب

در سومین و آخرین گام از الگوریتم PSDA، یک زیرمجموعه مرتب از خطمشی‌های دفاعی برای به روز رسانی بردار احتمال γ_u مورد استفاده قرار می‌گیرد. این بردار جدید به گام نخست برای بررسی نمودن خاتمه الگوریتم یا برای هدایت کاوش تکاملی به سمت جواب‌های با کیفیت بالاتر فرستاده می‌شود. هم‌چنین در این گام تعداد به خصوص S از بهترین جواب‌های به دست آمده در چرخه در مجموعه K ذخیره می‌شود. شبه کد الگوریتم برای این گام به صورت زیر است:

Step 3—Solution Discovery

$\dots K \rightarrow K \cup R(\mathbf{a}|\mathbf{x}_u^{(1)}, d, v_{ij}) \geq R(\mathbf{a}|\mathbf{x}_u^{(2)}, d, v_{ij}) \geq \dots \geq R(\mathbf{a}|\mathbf{x}_u^{(\text{TOP})}, d, v_{ij}) \dots$

$u \rightarrow u+1$;

For $i = s, 1, \dots, n$ and $j = 1, \dots, n, t$ update vector γ_u as follows:

$\gamma_{iju} = (\sum_{k=1}^S x_{iju-1}^{(k)}) / S$ where $S \ll \text{SAMPLE}$;

Go to Step 1.

تفاوت اساسی این است که الگوریتم حول محور مراحل مربوط به تولید نسل (انتخاب والدین، پیوند و جهش) نیست. در این الگوریتم ناحیه‌ای از فضای جواب براساس جستجوی احتمالی مورد کاوش قرار می‌گیرد که این احتمال از متناسب کردن جواب‌های تولید شده در هر دور به دست می‌آید. هم‌چنان که روند الگوریتم پیش می‌رود ناحیه مورد جستجو به سمت جواب‌های بهتر سوق پیدا می‌کند. به عنوان تفاوت با الگوریتم مورچگان، الگوریتم ارائه شده فضای جواب را با استفاده از تابع جریمه و بهترین جواب‌های به دست آمده در هر دور به روز رسانی می‌کند. مانند دیگر الگوریتم‌های تکاملی PSDA برای تمامی مسائل هم‌گرا نیست [۱۵]. با این حال، طبیعت احتمالی PSDA باعث می‌شود ناحیه‌ای از فضای جواب را جستجو کند که جواب‌هایی با کیفیت بالا دارد. این الگوریتم تکاملی ثابت شده است که جواب‌هایی با کیفیت بالا برای انواع مختلف ممانعت در شبکه‌ها [۱۶]، تخصیص قابلیت اطمینان [۱۷]، بازرسی محتوا [۱۸] و شبکه‌های بی‌سیم [۱۹] دارد. در این رابطه برونز [۲۰] یک شیوه مشابه برای کاوش فضای جواب از طریق تراکم مرزی برای حل مسائل بهینه‌سازی مقید ارائه کرده است. امتیاز PSDA این است که تنها به سه پارامتر برای به دست آوردن جواب بهینه نیاز دارد.

۲-۲- ایجاد خطمشی

در این گام، یک تعداد به خصوص (SAMPLE) از خطمشی‌های دفاعی $\mathbf{x}_u^h = (x_{s1u}^h, \dots, x_{snu}^h, \dots, x_{12u}^h, \dots, x_{1nu}^h, \dots, x_{iju}^h, \dots, x_{ntu}^h)$ را با استفاده از شبیه‌سازی مونت کارلو و براساس احتمال دیگته شده توسط بردار احتمال:

$$\mathbf{Y}_u = (Y_{s1u}, \dots, Y_{snu}, Y_{12u}, \dots, Y_{1nu}, \dots, Y_{iju}, \dots, Y_{ntu})$$

تولید می‌کنیم. مؤلفه Y_{iju} از γ_{iju} برابر با احتمال این است که یال (i, j) به عنوان بخشی از خطمشی دفاعی انتخاب شود، $\gamma_{iju} = p(x_{iju}^h = 1)$ این گام هم‌چنین تعیین می‌کند که الگوریتم چه موقع خاتمه یابد.

الگوریتم زمانی متوقف می‌شود که بردار γ_u دیگر نمی‌تواند به روز رسانی شود، یعنی همه مؤلفه‌های γ_u صفر یا یک هستند. شبه کد الگوریتم برای این گام به صورت زیر است:

Step 1—Strategy development:

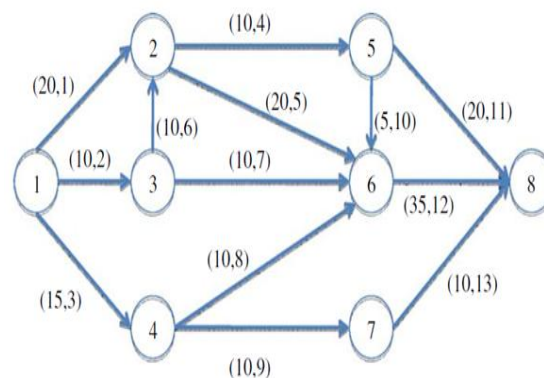
For $h = 1, \dots, \text{SAMPLE}$

{For $i = 1, \dots, n$ and $j = 1, \dots, n$ implement MC simulation and as dictated by γ_u generate a network defense design $\mathbf{x}_u^h = (x_{s1u}^h, \dots, x_{snu}^h, x_{12u}^h, \dots, x_{1nu}^h, \dots, x_{iju}^h, \dots, x_{ntu}^h)$
 $h \rightarrow h+1$;

if $(\gamma_{iju} = 1 \forall i, j) \vee u = U$, then Stop, $x^* = \arg \max\{K\}$. else go to step 2.

۳- نتایج محاسباتی

برای نشان دادن رفتار PSDA برای مسئله حفاظت از شبکه از یک مثال استفاده می‌کنیم. شبکه‌ای که آن‌ها را مورد تجزیه و تحلیل قرار می‌دهیم در شکل (۲) مشاهده می‌شود. مقادیر بالای هر یال به ترتیب ظرفیت و اندیس آن‌ها نشان می‌دهد. برای مثال، یال بین گره‌های ۱ و ۲ دارای ظرفیت ۲۰ واحد و اندیس ۱ است. در این پیکربندی شبکه ماکزیمم جریانی که از گره منبع ۱ به گره چاهک ۲ می‌توان فرستاد ۴۵ واحد است. در این مثال فرض بر این است که مهاجم منابع را میان تمام یال‌ها به طور مساوی تقسیم می‌کند و هیچ اطلاعی از پیکربندی شبکه و اهمیت یال‌های به خصوص ندارد. برای تشریح بهینه‌سازی قالب و راه‌حلش، سه جریان $d = (10, 20, 40)$ ، دو بودجه تهاجمی $b = (260, 520)$ ، سه بودجه تدافعی $b = (130, 650, 1300)$ و سه میزان درگیری $m = (.3, 1, 3)$ در نظر گرفته شده است. برای این مثال پارامترهای مورد نیاز برای PSDA به صورت $SAMPLEL = 50$ ، $U = 20$ و $S = 7$ در نظر گرفته شده است.



شکل (۲): یک مثال عددی برای تجزیه و تحلیل شبکه

نتایج به دست آمده از شرایط متفاوت در نظر گرفته شده در شکل (۲) نمایش داده شده است. این نتایج درک مناسبی از خط‌مشی دفاعی برای پیشینه‌کردن پایداری شبکه را فراهم می‌کنند. برای سه تقاضای شبکه نتایج به دست آمده بینش زیر را ارائه می‌دهند:

برای تقاضای ۱۰ واحد، پیکربندی شبکه افزونگی زیادی دارد و به مسیرهای گوناگون عرضه و تقاضا اجازه می‌دهد تا تقاضای شبکه را برآورده سازند. در این حالت، نتایج شکل (۲) نشان می‌دهند زمانی که بودجه تدافعی کم است، انتخاب خط‌مشی

دفاعی بهینه براساس انتخاب یک مسیر عرضه و تقاضا (با اختصاص تمام منابع تدافعی به یال‌های این مسیر) و یا توزیع منابع در یال‌های گوناگون شبکه برای افزایش مختصر پایداری هریک از مسیرهای افزونه دیگر می‌باشد.

برای تشریح استدلال بالا سه حالت برای $B = 260$ در نظر می‌گیریم، اگر از تمام یال‌های شبکه حفاظت شود و $m = 1$ فرض شود. احتمال این که هر یال حفاظت شده تخریب نشود $(1 - v_{ij})$ به ترتیب بایستی برابر با 0.3333 ، 0.7143 و 0.8333 باشد. براساس این آسیب‌پذیری‌ها، پایداری شبکه زمانی که از تمام یال‌های حفاظت شود به ترتیب برابر با 0.1786 ، 0.8589 و 0.9698 است. طبق جدول (۳) پایداری شبکه برای خط‌مشی‌های دفاعی به ترتیب 0.3333 ، 0.8886 و 0.9798 است. بنابراین جواب‌های به دست آمده توسط PSDA نشان می‌دهند که وقتی منابع تدافعی برای ایجاد افزونگی محدود هستند، منابع بایستی برای ماکزیمم کردن پایداری در یک مسیر عرضه-تقاضا (مسیر انتخابی شامل یال‌های شماره ۱، ۵ و ۱۲ برای $b=130$) مورد استفاده قرار گیرند. هم‌چنان که منابع افزایش می‌یابند، چون آسیب‌پذیری عناصر (یال‌ها) کاهش می‌یابد، افزونگی پایداری تدافعی را بهبود می‌بخشد (همان‌طور که مشاهده می‌کنید برای $b = 1300$ فقط از یال شماره ۱۰ حفاظت نشده است).

این استدلال هم‌چنین برای میزان بالای درگیری $m = 3$ نیز برقرار است. در این حالت وقتی منابع دفاعی یال افزایش می‌یابد، آسیب‌پذیری یال به سرعت کاهش می‌یابد. در نهایت برای حالتی که میزان درگیری پایین است، $m = 0.3$ ، زمانی که فقط از یک مسیر (به عنوان مثال ۱، ۵ و ۱۲) استفاده می‌کنیم آسیب‌پذیری یال‌ها بین 0.2888 در بهترین حالت و 0.4946 در بدترین حالت متغیر است، همواره از تخصیص منابع به یال‌های گوناگون به منظور ایجاد افزونگی استفاده می‌کنیم. در حقیقت وقتی میزان درگیری پایین است افزایش تلاش برای حفاظت از هر یال به خصوص تأثیر ناچیزی در کاهش آسیب‌پذیری آن یال دارد. بنابراین، فراهم نمودن افزونگی برای حفاظت از مسیرها (حفاظت از تعداد زیادی از یال‌ها) بسیار کارتر از تخصیص منابع به تعداد کمی از یال‌ها است.

جدول (۳): نتایج محاسباتی به دست آمده در شرایط متفاوت

d	B	b	m = 1		m = 0.3		m = 3		
			Non-defended links	Net.surv	Non-defended links	Net.surv	Non-defended links	Net.surv	
۴۰	۵۲۰	۱۳۰	۸،۶	۰،۰۰۲۴	۱۱،۱۰،۸،۶،۴	۰،۰۰۲۴	NS*	۰،۰۰۰۰	
		۶۵۰	۱۰،۶	۰،۰۲۷۴	۱۰	۰،۰۱۱۷	۱۱،۱۰،۸،۶،۴	۰،۴۱۹۹	
		۱۳۰۰	۱۱،۱۰،۸،۶،۴	۰،۱۸۷۵	۱۰	۰،۰۲۲۵	۱۱،۱۰،۸،۶،۴	۰،۸۹۵۰	
		۲۶۰	۱۳۰	۱۱،۱۰،۸،۶،۴	۰،۰۰۲۹	۱۰	۰،۰۰۴۶	NS*	۰،۰۰۰۰
		۶۵۰	۱۱،۱۰،۸،۶،۴	۰،۱۸۰۶	۱۰	۰،۰۲۴۱	۱۱،۱۰،۸،۶،۴	۰،۸۹۶۴	
		۱۳۰۰	۱۱،۱۰،۸،۶،۴	۰،۴۰۶۲	۱۰	۰،۰۴۴۰	۱۱،۱۰،۸،۶،۴	۰،۹۸۹۳	
۲۰	۵۲۰	۱۳۰	۸،۷،۶،۴،۳،۲ ۱۳،۱۱،۱۰،۹	۰،۱۵۲۰	۹،۸،۷،۶،۴،۳،۲ ۱۳،۱۱،۱۰	۰،۱۳۹۱	۹،۸،۷،۶،۴،۳،۲ ۱۳،۱۱،۱۰	۰،۱۸۲۸	
		۶۵۰	۸،۷،۶،۴،۳،۲ ۱۳،۱۱،۱۰،۹	۰،۶۰۸۶	۱۳،۱۱،۱۰،۹،۶،۴	۰،۲۲۹۰	۹،۸،۷،۶،۴،۳،۲ ۱۳،۱۱،۱۰	۰،۹۸۵۱	
		۱۳۰۰	۸،۷،۶،۴،۳،۲ ۱۳،۱۱،۱۰،۹	۰،۷۷۷۶	۹،۸،۷،۶،۴،۳،۲ ۱۳،۱۱،۱۰	۰،۳۰۵۵	۹،۸،۷،۶،۴،۳،۲ ۱۳،۱۱،۱۰	۰،۹۹۸۹	
		۲۶۰	۱۳۰	۸،۷،۶،۴،۳،۲ ۱۳،۱۱،۱۰،۹	۰،۳۲۷۰	۱۳،۱۱،۱۰،۹،۶	۰،۱۴۶۱	۹،۸،۷،۶،۴،۳،۲ ۱۳،۱۱،۱۰	۰،۷۶۷۰
		۶۵۰	۸،۷،۶،۴،۳،۲ ۱۳،۱۱،۱۰،۹	۰،۷۸۴۱	۱۰	۰،۳۰۲۶	۱۰،۸،۶	۰،۹۹۴۱	
		۱۳۰۰	۸،۷،۶،۴،۳،۲ ۱۳،۱۱،۱۰،۹	۰،۸۸۰۰	۱۳،۱۱،۱۰،۹،۶،۴	۰،۳۷۷۵	۹،۸،۷،۶،۴،۳،۲ ۱۳،۱۱،۱۰	۰،۹۹۹۸	
۱۰	۵۲۰	۱۳۰	۷،۶،۵،۴،۳،۲،۱ ۱۳،۱۱،۱۰،۹	۰،۱۴۱۲	۱۰	۰،۲۹۵۹	۹،۷،۶،۵،۴،۳،۲،۱ ۱۳،۱۱،۱۰	۰،۱۸۲۳	
		۶۵۰	۱۰،۶	۰،۶۴۲۶	۱۰	۰،۵۲۲۹	۹،۷،۶،۵،۴،۳،۲،۱ ۱۳،۱۱،۱۰	۰،۹۸۴۶	
		۱۳۰۰	۱۰،۶	۰،۸۸۶۴	۱۰	۰،۶۲۶۳	۱۰،۸،۶،۵	۰،۹۹۹۸	
		۲۶۰	۱۳۰	۹،۸،۷،۶،۴،۳،۲،۱ ۱۱،۱۰	۰،۳۳۱۵	۱۰	۰،۳۸۶۸	۱۰،۹،۸،۶،۵،۴،۳،۲،۱ ۱۱،۱۳	۰،۷۶۳۰
		۶۵۰	۱۰،۶	۰،۸۸۸۶	۱۰	۰،۶۲۶۳	۱۰،۸،۶،۵	۰،۹۹۹۶	
		۱۳۰۰	۱۰	۰،۹۷۸۷	۱۰	۰،۷۲۳۰	۱۰	۰،۹۹۹۹	

زمانی که تقاضای شبکه ۲۰ واحد در نظر گرفته شود، تعداد مسیره‌های افزونه برای تأمین این جریان کاهش می‌یابد. فقط دو مسیر مستقل وجود دارد که تقاضای شبکه را برآورده می‌سازند - اولی مسیر شامل یال‌های ۱، ۵ و ۱۲ درحالی که دومی شامل یال‌های ۲، ۳، ۴، ۶، ۹، ۱۱ و ۱۳ است. بنابراین خط‌مشی دفاعی یا بایستی یکی از این دو مسیره‌های منبع-مقصد حفاظت کند و یا حول هر یک از آن‌ها افزونگی ایجاد کند.

نتایج به دست آمده برای هر یک از بودجه‌های تدافعی و تهاجمی زمانی که $m = 1, 3$ است، رفتاری مشابه با بحث قبلی دارد. در نتیجه، بهترین خط‌مشی دفاعی مسیر ۱، ۵ و ۱۲ است، چون شامل تعداد کمی یال است و بنابراین آسیب‌پذیری یال‌ها کم است. تنها جوابی که از این رفتار تبعیت نمی‌کند یال‌های ۶، ۸ و ۱۰ را تعریف می‌کند که برای ایجاد افزونگی ضروری نیستند. برای تقاضای $d = 40$ واحد تنها مسیر تأمین‌کننده جریان، شامل یال‌های ۱، ۲، ۳، ۵، ۷، ۹، ۱۲ و ۱۳ است. همان‌طور که قبلاً بحث شد، بودجه منابع بایستی به این مسیر اختصاص یابد تا آسیب‌پذیری این مسیر کاهش یابد. جواب‌های بهینه برای

زمانی که تقاضای شبکه ۲۰ واحد در نظر گرفته شود، تعداد مسیره‌های افزونه برای تأمین این جریان کاهش می‌یابد. فقط دو مسیر مستقل وجود دارد که تقاضای شبکه را برآورده می‌سازند - اولی مسیر شامل یال‌های ۱، ۵ و ۱۲ درحالی که دومی شامل یال‌های ۲، ۳، ۴، ۶، ۹، ۱۱ و ۱۳ است. بنابراین خط‌مشی دفاعی یا بایستی یکی از این دو مسیره‌های منبع-مقصد حفاظت کند و یا حول هر یک از آن‌ها افزونگی ایجاد کند.

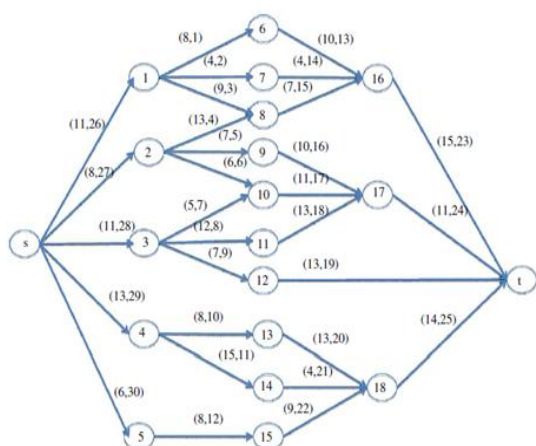
۳-۱- نتایج دای و پو

شبکه در نظر گرفته شده برای این مثال در واقع از دای و پو [۶] گرفته شده است. همان‌طور که در شکل (۲) مشاهده می‌کنید مقادیر بالای هر یال به ترتیب ظرفیت و اندیس آن یال را نشان می‌دهد. برای این پیکربندی شبکه ماکزیمم جریان از s به t برابر ۴۴ واحد است، زمانی که هیچ حمله‌ای وجود ندارد. جدول (۴) نتایج حاصل از حالت‌های مختلف قالب آسیب‌پذیری شبکه را نشان می‌دهد.

جدول (۴). نتایج حاصل از حالت‌های مختلف قالب آسیب‌پذیری شبکه (دای و پو)

d	B	b	m = 1		m = 0.2		m = 5	
			Non-defended links	Net.surv	Non-defended links	Net.surv	Non-defended links	Net.surv
		۱۰۰۰	۱۷	۰.۰۰۵	NS	۰.۰۰۰۰	۱۸.۱۶.۱۴.۱۱.۸.۵.۲ ۲۱	۰.۷۲۳۵
	۶۰۰	۳۰۰۰	۲۱.۱۴.۱۱.۲	۰.۰۶۱۵	۱۷.۱۵	۰.۰۰۰۵	۲۱.۱۷.۱۴.۱۱.۷.۶.۵.۲	۰.۹۹۷۵
۴۴		۹۰۰۰	۲۱.۱۴.۱۱.۲	۰.۳۷۰۵	۸.۲	۰.۰۰۱۰	۲۱.۱۶.۱۴.۵	۰.۹۹۹۰
		۱۰۰۰	۲۱.۱۴.۱۱.۲	۰.۰۴۹۰	NS	۰.۰۰۰۰	۲۱.۱۸.۱۶.۱۱.۸.۵.۲	۰.۹۹۵۰
	۲۱۰	۳۰۰۰	۲۱.۱۴.۱۱.۲	۰.۳۵۰۵	۲۰	۰.۰۰۱۵	۱۷.۱۴.۱۱.۶	۰.۹۹۸۵
		۱۳۰۰	۲۱.۱۱	۰.۷۱۵۰	۲۱.۱۱	۰.۰۰۳۰	۱۴	۰.۹۹۹۰
		۱۰۰۰	۱۷.۷.۶	۰.۰۴۰۰	۵.۲	۰.۰۰۶۵	۱۸.۱۴.۱۲.۸.۶.۴.۲ ۳۰.۲۲	0.9915
	۶۰۰	۳۰۰۰	۱۸.۱۶.۸.۵	۰.۴۹۱۰	۶	۰.۰۱۵۰	۱۴.۲	۰.۹۹۹۵
۲۹		۹۰۰۰	۷	۰.۹۱۸۵	۶	۰.۳۵۵۰	۳۰.۲۱.۱۶.۱۴.۶.۵	۰.۹۹۹۵
		۱۰۰۰	۱۷.۱۴.۵.۲	۰.۴۷۷۰	۳۰.۲۲.۱۲	۰.۰۱۵۰	۲۱.۱۱.۷	۰.۹۹۹۰
	۲۱۰	۳۰۰۰	۱۴.۲	۰.۹۱۲۰	۶	۰.۰۳۲۵	۲۱.۱۸.۱۶.۱۵	۰.۹۹۹۵
		۹۰۰۰	۷	۰.۹۹۳۵	۱۶.۵	۰.۰۷۴۰	۲۲.۱۶	۰.۹۹۹۸
		۱۰۰۰	۱۱.۱۰.۹.۷.۶.۵.۴ ۲۰.۱۹.۱۷.۱۶.۱۲ ۲۹.۲۷.۲۵.۲۲.۲۱ ۳۰	۰.۷۱۷۵	۳۰.۲۲.۱۲	۰.۲۸۳۵	۱۶.۱۴.۱۲.۷.۶.۵.۲ ۳۰.۲۲.۱۷	۰.۹۹۸۵
	۶۰۰	۳۰۰۰	۱۶.۵	۰.۹۷۵۵	۶	۰.۴۰۷۵	۲۷.۲۲.۱۹.۱۳.۶.۴ ۲۹	۰.۹۹۹۰
۱۱		۹۰۰۰	۷.۵	۰.۹۹۵۰	۶	۰.۵۶۰۰	۱۵.۱۴.۱۳.۱۰.۹.۷.۲ ۲۹.۲۶.۲۵.۲۲	۰.۹۹۹۵
		۱۰۰۰	۱۶.۱۴.۵.۲	۰.۹۷۱۰	۲۱.۱۱	۰.۴۰۱۰	۱۵.۱۳.۱۲.۱۱.۷.۶.۵ ۳۰.۱۶	۰.۹۹۵۰
	۲۱۰	۳۰۰۰	۷.۵	۰.۹۹۹۰	۶	۰.۵۵۰۵	۱۶.۱۴.۱۳.۱۱.۳.۲.۱ ۲۷.۲۶.۲۲.۲۱.۱۷	۰.۹۹۹۰
		۹۰۰۰	۸.۶.۳	۰.۹۹۹۵	۶	۰.۶۸۹۰	۱۴.۱۳.۱۰.۱	۰.۹۹۹۵

نیازمند یال‌های بیش‌تری است تا جریان مورد نیاز شبکه $d = 40$ را تأمین کند. خط‌مشی دفاعی منابعش را به طور مساوی در میان یال‌های با اهمیت بیش‌تر توزیع می‌دهد.



شکل (۳): شبکه دای و پو

در این جدول در کل ۱۸ حالت مختلف، برای میزان درگیری‌های $m = 0.2, 1, 3$ سه جریان متفاوت ($d = 44, 29, 11$)، سه بودجه تدافعی ($b = 1000, 3000, 9000$) و دو بودجه تهاجمی ($B = 210, 600$) وجود دارد. برای این مثال پارامترهای مورد نیاز برای PSDA به صورت $SAMPLE = 500$ ، $U = 10$ و $S = 71$ در نظر گرفته شده است.

تجزیه و تحلیل نتایج به دست آمده (جدول ۴) برای این شبکه بزرگ‌تر مانند مثال پیشین است. خط‌مشی دفاعی بهینه برای $m = 1$ ، زمانی که بودجه تدافعی کم‌ترین ($b = 1000$) و بودجه تهاجمی بیش‌ترین ($B = 600$) مقدار است، فقط از ۱۲ یال حفاظت می‌شود با این امید که این یال‌ها افزونگی لازم برای فرستادن جریان مورد نیاز را فراهم کنند. هم‌چنان که بودجه تدافعی افزایش می‌یابد یا بودجه تهاجمی کاهش می‌یابد، یال‌های بیش‌تر می‌توانند برای فراهم‌نمودن افزونگی اضافه شوند و پایداری شبکه را افزایش دهند. به طور مشابه، وقتی تقاضا

- [7] G. Levitin and K. Hausken, "False targets vs. redundancy in homogeneous parallel systems," *Reliab. Eng. Syst. Saf.*, 2009.
- [8] G. Levitin and K. Hausken, "Redundancy vs. protection vs. false targets for systems under attack," *IEEE Trans. Reliab.*, vol. 58, no. 1, pp. 58–68, 2009.
- [9] K. J. Cormican, D. P. Morton, and R. K. Wood, "Stochastic Network Interdiction," *Oper. Res.*, 1998.
- [10] B. A. Gebre and J. E. Ramirez-Marquez, "Element substitution algorithm for general two-terminal network reliability analyses," *IIE Trans. (Institute Ind. Eng.)*, 2007.
- [11] J. E. Ramirez-Marquez and B. A. Gebre, "A classification tree based approach for the development of minimal cut and path vectors of a capacitated network," *IEEE Trans. Reliab.*, 2007.
- [12] C. M. Rocco S and J. A. Moreno, "Network reliability assessment using a cellular automata approach," *Reliab. Eng. Syst. Saf.*, 2002.
- [13] C. M. Rocco S and E. Zio, "Solving advanced network reliability problems by means of cellular automata and Monte Carlo sampling," *Reliab. Eng. Syst. Saf.*, 2005.
- [14] L. R. Ford Jr and D. R. Fulkerson, "Flows in networks," Princeton university press, 2015.
- [15] Y. Rabinovich and A. Wigderson, "Techniques for bounding the convergence rate of genetic algorithms," *Random Struct. Algorithms*, 1999.
- [16] C. M. Rocco S and J. E. Ramirez-Marquez, "Deterministic network interdiction optimization via an evolutionary approach," *Reliab. Eng. Syst. Saf.*, 2009.
- [17] J. E. Ramirez-Marquez, "New approaches for reliability design in multistate systems," In *Handbook of Performability Engineering*, Springer, pp. 465–476, 2008.
- [18] J. E. Ramirez-Marquez, "Port-of-entry safety via the reliability optimization of container inspection strategy through an evolutionary approach," *Reliab. Eng. Syst. Saf.*, 2008.
- [19] J. L. Cook and J. E. Ramirez-Marquez, "Optimal design of cluster-based ad-hoc networks using probabilistic solution discovery," *Reliab. Eng. Syst. Saf.*, 2009.
- [20] A. Berrones, "Stationary probability density of stochastic search processes in global optimization," *J. Stat. Mech. Theory Exp.*, 2008.

۴- نتیجه‌گیری و تحقیقات آینده

این مقاله قالب تدافعی از شبکه را نشان می‌دهد که مهاجم تلاش می‌کند جریان عرضه- تقاضا را با اختصاص منابع تخریبی به طور مساوی در میان یال‌های ظرفیت‌دار شبکه کاهش دهد. تحت این تهدید حمله، مدافع منابع‌اش را برای حفاظت از یال‌های شبکه اختصاص می‌دهد به طوری که احتمال تامین جریان مورد نیاز شبکه (همان پایداری شبکه) بیشینه شود. قالب بهینه‌سازی براساس آسیب‌پذیری یال‌ها با استفاده از تابع میزان موفقیت مهاجم- مدافع برای هر یال تعیین می‌شود. جواب‌های به دست آمده برای این قالب بر روی شبکه‌های مختلف نشان می‌دهد که موقعی که مدافع با توزیع مساوی منابع تهاجمی روبروست، خط‌مشی دفاعی بایستی براساس انتخاب میان بهبود قابل توجه پایداری یک مسیر عرضه- تقاضا به خصوص (با تخصیص تمام منابع دفاعی به یال‌های این مسیر)، یا توزیع منابع در میان یال‌های گوناگون شبکه برای افزایش مختصر پایداری چندین مسیر و بنابراین ایجاد افزونگی باشد. نتایج به دست آمده هم‌چنین نشان می‌دهد وقتی میزان درگیری افزایش می‌یابد انتخاب نخست سودمندتر است.

اگرچه این مقاله نخستین گام در فهمیدن رفتار خط‌مشی دفاعی می‌باشد، با این حال اگر به مدافع اجازه دهیم منابع‌اش را به طور نامساوی تقسیم کند، شاید موجب تخصیص بهتر و در نتیجه پایداری شبکه را در برابر سناریوهای متفاوت حمله‌ای افزایش دهد. هم‌چنین ممکن است مهاجم منابع‌اش را به طور بهینه در میان یال‌ها پخش کند تا بیش‌ترین آسیب را برای هر خط‌مشی دفاعی محتمل برساند. بنابراین، هریک از این موارد در تحقیقات آینده می‌تواند مورد بررسی قرار گیرد.

۵- مراجع

- [1] A. W. McMasters and T. M. Mustin, "Optimal interdiction of a supply network," *Nav. Res. Logist. Q.*, 1970.
- [2] R. L. Helmbold, "A countercapacity network interdiction model," 1971.
- [3] M. R. Boyle, "Partial-enumeration for planar network interdiction problems," 1998.
- [4] R. K. Wood, "Deterministic network interdiction," *Math. Comput. Model.*, 1993.
- [5] Y. Dai and K. Poh, "Solving the network interdiction problem with genetic algorithms," In *Proceedings of the fourth Asia-Pacific conference on industrial engineering and management system*, Taipei, pp. 18–20, 2002.
- [6] J. E. Ramirez-Marquez, C. M. Rocco S, and G. Levitin, "Optimal protection of general source-sink networks via evolutionary techniques," *Reliab. Eng. Syst. Saf.*, 2009.